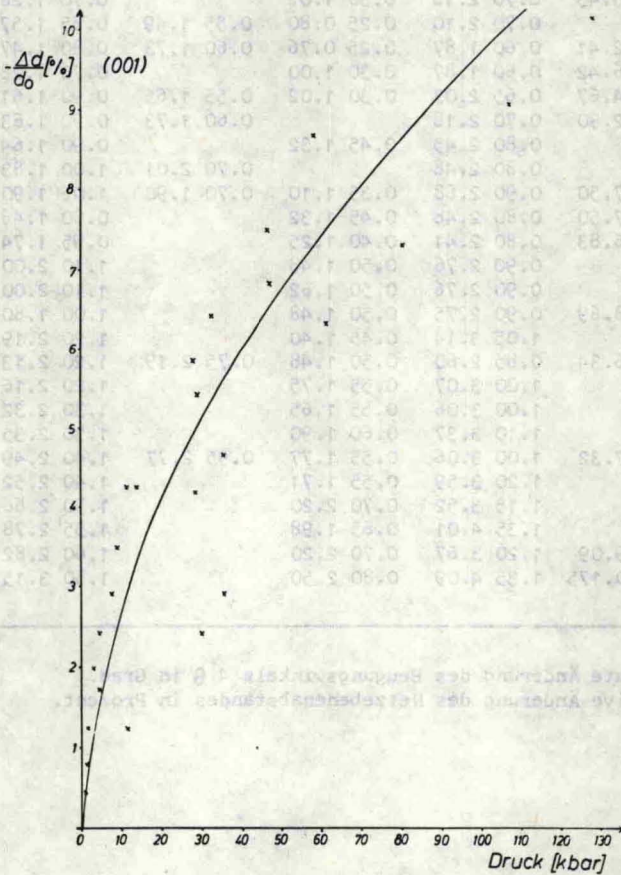


Druck kbar	(001)		(200)		(131̄)		(132̄)		(331̄)		(060)	
	I	II	I	II	I	II	I	II	I	II	I	II
1.0	0.05	0.44	0.10	0.30	0.05	0.15	0.05	0.16	0.10	0.20	0.10	0.20
1.2	0.05	0.79	0.05	0.15	0.05	0.15	0.10	0.33	0.10	0.20		
1.5	0.10	1.23					0.15	0.41	0.15	0.30	0.05	0.10
3.0	0.15	1.97	0.10	0.31	0.10	0.31	0.10	0.33	0.20	0.36		
4.5	0.20	2.41	0.20	0.57	0.10	0.42	0.25	0.62	0.25	0.46	0.15	0.30
4.5	0.15	1.72	0.25	0.80	0.10	0.30	0.20	0.66	0.25	0.43	0.15	0.26
7.5	0.25	2.90	0.45	1.41	0.10	0.30	0.28	0.87	0.40	0.72	0.30	0.53
8.0	0.30	3.49	0.25	0.73	0.10	0.42	0.30	0.78	0.35	0.65	0.15	0.30
11.5	0.35	4.25	0.35	1.11	0.15	0.47	0.30	0.87	0.40	0.75	0.10	0.20
11.5	0.10	1.23	0.40	1.26	0.15	0.46	0.35	1.03	0.50	0.91	0.30	0.56
14.0	0.35	4.25	0.35	1.11	0.20	0.61	0.35	1.03	0.50	0.92	0.25	0.46
28.0	0.50	5.85	0.60	1.80	0.25	0.80	0.50	1.36	0.75	1.38	0.45	0.85
28.5	0.35	4.18	0.65	2.03	0.30	1.00			0.70	1.25	0.50	0.89
29.0	0.45	5.43	0.70	2.18	0.30	1.02			0.70	1.28	0.40	0.75
29.5			0.70	2.10	0.25	0.80	0.55	1.49	0.85	1.57	0.45	0.85
30.0	0.20	2.41	0.60	1.87	0.25	0.76	0.60	1.73	0.80	1.47	0.60	1.11
32.5	0.55	6.42	0.60	1.87	0.30	1.00			0.70	1.28	0.30	0.56
35.5	0.40	4.67	0.65	2.03	0.30	1.02	0.55	1.65	0.90	1.61	0.70	1.25
35.5	0.25	2.90	0.70	2.18			0.60	1.73	0.90	1.63	0.70	1.27
41.0			0.80	2.45	0.45	1.32			0.90	1.64	0.50	0.92
44.0			0.80	2.48			0.70	2.01	1.00	1.83	0.80	1.47
46.5	0.65	7.50	0.90	2.68	0.35	1.10	0.70	1.90	1.05	1.90	0.65	1.21
46.5	0.65	7.50	0.80	2.48	0.45	1.32			0.80	1.48	0.40	0.75
47.0	0.60	6.83	0.80	2.41	0.40	1.25			0.95	1.74	0.60	1.11
54.0			0.90	2.76	0.50	1.48			1.10	2.00	0.70	1.28
56.5			0.90	2.76	0.50	1.62			1.10	2.00	0.70	1.28
58.0	0.75	8.69	0.90	2.75	0.50	1.48			1.00	1.80	0.50	0.92
60.5			1.05	3.14	0.45	1.40			1.20	2.19	0.75	1.38
61.0	0.55	6.34	0.85	2.60	0.50	1.48	0.75	2.19	1.20	2.13	0.90	1.61
64.5			1.00	3.07	0.55	1.75			1.20	2.16	0.70	1.28
68.0			1.00	3.06	0.55	1.65			1.30	2.32	0.90	1.61
76.0			1.10	3.37	0.60	1.90			1.30	2.35	0.80	1.48
80.0	0.65	7.32	1.00	3.06	0.55	1.77	0.95	2.77	1.40	2.49	1.00	1.77
81.0			1.20	3.59	0.55	1.71			1.40	2.52	0.90	1.64
97.0			1.15	3.52	0.70	2.20			1.50	2.66	1.10	1.97
99.5			1.35	4.01	0.65	1.98			1.55	2.78	0.95	1.74
106.5	0.80	9.09	1.20	3.67	0.70	2.20			1.60	2.82	1.15	2.07
127.5	0.90	10.175	1.35	4.09	0.80	2.50			1.80	3.15	1.30	2.30

Tab. 1: I Absolute Änderung des Beugungswinkels  $4\theta$  in Grad.  
 II Relative Änderung des Netzebenenabstandes in Prozent.

Die Aufnahmen wurden bei steigendem und fallendem Druck hergestellt. Dabei zeigten sich bei den Netzebenenabständen keine Hysteresiseffekte. Die Kompression ist reversibel. Die Messergebnisse sind im Bereich der Fehlergrenzen reproduzierbar. Die relativen Änderungen der Netzebenenabstände aus Tab. 1 wurden in den Abb. 5-10 eingetragen. In die streuenden Messwerte wurde die gemittelte Kurve ohne mathematische Berechnung eingezeichnet.



Tab. 1. Relative Änderung des Netzebenenabstands  $\frac{\Delta d}{d_0}$  in % für die (001) Ebene bei steigendem und fallendem Druck. II Relative Änderung des Netzebenenabstands in Prozent